# ジンチョウゲ科植物の細胞内情報伝達系の改変による フレグランス構成成分生合成活性の誘導

富山大学大学院医学薬学研究部

# 黒崎 文也

Several lines of evidence suggested that Rac/Rop GTPases in *Aquilaria microcarpa* play roles in jasmonates-induced activation of sesquiterpene biosynthesis in the plant cells. The expression of farnesyl diphosphate synthase gene of *A. microcarpa* was markedly increased even in the absence of methyl jasmonate in the cells over-expressing a calmodulin gene and a Rac/Rop GTPase gene. These findings suggest that calmodulin and Rac/Rop GTPase proteins should function as a key mediator in jasmonate-signaling in higher plant cells.

#### 1. 緒 言

Jasmonic acid (JA) 及びそのメチルエステル体である methyl jasmonate (MJ) は「jasmonate」と称される植物 ホルモンの一種で、植物の成長、発達ならびに乾燥、傷害、 微生物の感染等の多彩な外的ストレスに対する防御応答に おいて重要な役割を担うメッセンジャー分子である¹゚。ま た、jasmonate を細胞外から人為的に添加することによっ て、様々な二次代謝産物の生合成が活性化することが良く 知られている<sup>2)</sup>。最近の研究によれば、JA は植物細胞内 に取り込まれた後 isoleucine と接合体を形成し、SCF ubiquitin E3 ligaseの構成成分であるCOI1タンパクに認 識される。 その後、転写抑制因子である JAZがユビキチ ン化され、次いでプロテアソームによる分解を引き金とし てカスケードに関わる様々な因子の転写が開始されること が示されている<sup>3)</sup>。しかしながら、その後、どのような機 構によって多様な細胞の反応が誘導されるかについては殆 んど知見が無い。我々のグループはこれまでの研究でMJ をはじめとする外部刺激に呼応した二次代謝産物生合成能 活性化にはCa<sup>2+</sup>カスケードの活性化が必須であり、更に、 これらのプロセスにはCa<sup>2+</sup>結合タンパクである calmodulin (CAM) やmonomer型GTP結合タンパクの一 種である Rac/Rop GTPase などの機能分子が関与するこ とを報告している40。また、これらの現象が、植物種や化 合物種に依存せず幅広く保存されていることに着目して、 情報伝達関連因子の遺伝子を植物に導入・発現させ、細胞 内情報伝達機構を人為的に操作することで、二次代謝能を 活性化させうる可能性を提案している4)。



Induction of biosynthetic activity of sesquiterpene compounds by artificial modification of signal-transduction processes of *Aquilaria* plant cells

Fumiya Kurosaki

Graduate School of Medicine and Pharmaceutical Sciences for Research University of Toyama 今回の研究の材料として用いたのは東南アジア原産のジンチョウゲ科木本植物である Aquilaria microcarpaで、機械的傷害や微生物の感染といったストレスにさらされることにより、幹の内部に芳香性セスキテルペンを多く含む樹脂状の「沈香」を形成する。通常の状態ではマスクされている Aquilaria 植物のセスキテルペン生合成能を発現させるために様々な試みがなされているが、最近 Okudera等 によって MJ 刺激を与えることでセスキテルペン群の生合成が誘導されることが示された。 本研究では、jasmonateを引き金とする A. microcarpa のセスキテルペン生合成発現に関わる細胞内情報伝達機構を解明し、その応用として、Aquilaria 細胞内に潜在的に存在している二次代謝能を顕在化させるための方法論を開発することを目的とした。

### 2. 実験

#### 2.1 RACE法によるFaPS並びにAm-racのクローニング

A. microcarpaのカルスからRNeasy Plant Mini Kit (Qiagen) によって total RNAを抽出し、次いで逆転写反応によって cDNAを合成した。3'-RACEのための cDNA については GeneRacer Kit (Invitrogen)、また、5'-RACEのための cDNA は5'/3' RACE Kit 2nd Generation (Roche) をそれ ぞれ用いて作製した。データベースを検索して設計したプライマーを組み合わせてPCRを行い、増幅されたDNA 断片を精製した後にpGEM-T Easy Vector (Promega) に組み込んだ。その後、One Shot Top 10 Chemically Competent Cell (Invitrogen)を形質転換して、目的の遺伝子の存在が確認できたプラスミドの塩基配列を決定した。

#### 2.2 RT-PCRによる発現解析

Murashige-Skoog(MS)寒天培地上に*A. microcarpa*のカルス(100 mg)をとり、yeast extract(Difco、1 mg/mL)、MJ(和光純薬、100 μM)、Ca<sup>2+</sup>-ionophore A 23187(和光純薬、10 μM)の溶液(100 μL)を滴下することで刺激を加え、25℃、暗所でインキュベートした。外部刺激を与えた後、経時的にカルスを回収し、前述の方法でtotal RNAを調製

した。 得られた RNA を逆転写し、次いで、目的遺伝子の翻訳領域及び3'側非翻訳領域に対応するプライマーで PCR を行い、生成物を電気泳動で分析して発現量を解析した。コントロールには total RNA あるいは恒常的に発現することが確認されている Am-cam 2 を用いた。

## 2.3 阻害剤存在下での MJ 刺激に対する Am-FaPS1 の発現解析

プロテアソーム阻害剤である MG-132(Calbiochem、10 or  $2.5\mu M$ )、rac 阻害剤である NSC 23766(Calbiochem、100 or  $25\mu M$ )、 $Ca^{2+}$  チャネル阻害剤である verapamil hydrochloride (Sigma、100 or  $25\mu M$ )、また、CAM阻害剤である N-(6 - aminohexyl) - 5 - chloro-1 - naphthalenesulfonamide(W-7、BIOML、Res. Lab.、100 or  $25\mu M$ )をそれぞれ含んだ2,4-dichlorophenoxyacetic acid、 $3\mu M$ 、N<sup>6</sup> - benzyladenine  $3\mu M$  入りの MS 寒天培地を作製し、その上にA. microcarpa のカルスを静置して、 $25^{\circ}$  、暗所で 4 日間プレインキュベーションを行った。次いでMJ( $100\mu M$ ) $100\mu L$ を滴下し6時間インキュベーションを行い、total RNAの逆転写によって得た cDNA を鋳型として PCR を行った。また、コントロールにはAm-cam 2 を用いた。

#### 2. 4 Am-rac2への変異の導入

Am-rac 2 (GenBank accession no. JF 922915) を用いて、植物に恒常的活性型、恒常的不活性型のAm-rac 2 タンパクを発現させるためにAm-rac 2 の ORF に 1 塩基置換を行った。

#### 2.4.1 恒常的活性型 Am-rac 2 の作製

*Am-rac2*のGTPの加水分解を担う領域にあるG15をVに置換するためのプライマーを設計し、Quick Change II Site-Directed Mutagenesis Kit (Stratagene)を用いてプロトコールに従い反応を行った。得られた恒常的活性型 *Am-rac2*をCA*rac2*とした。

#### 2.4.2 恒常的不活性型 Am-rac 2 の作製

Am-rac2のGDP/GTP結合領域であるD121をAに置換するためのプライマーを設計し、CArac2と同様の手法で恒常的不活性型Am-rac2を得て、これをDNrac2とした。

#### 2.5 形質転換植物体の作成

 $A.\ microcarpa$ より単離したCAM遺伝子Am-cam1、並びに、Am-rac2、CArac2、DNrac2を発現させた形質転換植物を作るにあたり、CMV 35 Sプロモーター支配下にそれぞれの目的遺伝子を配置したpBI-OX-GW(GFP selective)(Inplanta Innovations)を構築した。コントロールとしてはGFPのみを発現するものを用いた。エントリーベクター内のORF部分をLR clonase(Invitrogen)を用いてpBI-OX-GWに組み入れ、これを、37  $\mathbb C$ 、5 分間の

凍 結 融 解 法 に よっ て Agrobacterium tumefaciens 4404 (Invitrogen) に導入した。

植物への遺伝子導入にあたっては形質転換したA. tume faciens 菌液にカルスを 3 分間浸漬し、次いで菌液を濾紙に吸収させた後、2,4-dichlorophenoxyacetic acid 3  $\mu$ M、 $N^6$ -benzyladenine 3  $\mu$ M を含む MS寒天培地上に静置した。これらを 25  $\mathbb C$ 、暗所で 3 日間共培養した後、cefotaxime(和光純薬、500  $\mu$ g/mL)、kanamycin(和光純薬、50  $\mu$ g/mL)、2,4-dichlorophenoxyacetic acid 3  $\mu$ M、 $N^6$ -benzyladenine 3  $\mu$ M を含む  $\mu$ M を  $\mu$ M  $\mu$ M を  $\mu$ M  $\mu$ M を  $\mu$ M  $\mu$ M を  $\mu$ M  $\mu$ M を  $\mu$ M を  $\mu$ M  $\mu$ M を  $\mu$ M  $\mu$ 

#### 3. 結果

#### 3.1 FaPS のクローニングと諸性質の解析

#### 3.1.1 FaPSのクローニング

 $A.\ microcarpa$ のセスキテルペン生合成活性を評価するにあたり、まず前駆物質であるファルネシル二リン酸生合成酵素、FaPS、をコードする遺伝子を単離することを試みた。これまでに報告されているFaPS遺伝子配列中でよく保存されている領域からプライマーを設計し、RACE法によりクローニングを行った。縮重プライマーにより、まずコア構造を得た後に3'側および5'側の配列をそれぞれ決定した。得られた配列をデータベースに報告されている配列と比較検討してところ、既知のFaPS遺伝子配列と高い相同性を示し、新規のFaPS遺伝子であることを確認した。Am-FaPS1と名付けた遺伝子(GenBank accession no. HM067872)は全長1310塩基であり、342アミノ酸をコードしていた。

#### 3.1.2 アミノ酸配列の特徴と比較

Am-FaPS1 と他の植物のFaPSのコードするアミノ酸配列を比較したところ、いずれの対象に対しても高い相同性を示し、FaPSとして機能するために必要とされている鎖長決定領域や活性部位覆部領域、 ${\rm Mg}^{2^+}$  結合部位も確認された。アミノ酸配列の系統樹解析ではいずれのFaPSも高い相同性を示し、Am-FaPS1 は特にトウダイグサ科のタカトウダイ (E. pekinensis) と最も高い相同性を示した (Fig. 1)。3.1.3 RT-PCRによる発現解析

外部刺激に対するAm-FaPS1の発現応答についての知見を得るために、A-microcarpaのカルスを様々な試薬で処理し、発現変化をRT-PCRを用いて経時的に観察した。本実験で用いた試薬の中でMIがもっとも顕著な転写活性

の活性化を誘導し、処理後3時間から発現の上昇が観察され高いレベルに維持されていた (Fig. 2)。Yeast extract は植物の防御応答に関連する二次代謝産物の生合成を誘導することが知られているが、処理後3時間からMJと同様に転写活性の上昇が観察された。  $\operatorname{Ca}^{2+}$ -ionophore A23187 処理では転写活性の上昇は見られたものの、処理後6時間をピークとして24時間には処理前と同程度にまで減少した $^{60}$ 。

# 3.2 MJ誘導性 Am-FaPS1の発現に及ぼす様々な情報伝達阻害剤の効果

今回のこれまでの実験で、MJがA. microcarpaにおけるAm-FaPS1の発現を顕著に活性化させることが明らかとなった。我々のグループはゴマノハグサ科植物である

Scoparia dulcisのジテルペン化合物の生合成をモデルとして、MJ添加による植物二次代謝能活性化の細胞内情報伝達機構についての提案を行なっている。しかしながら、MJによるS. dulcisのジテルペン生合成活性化は、いわば「既存の生合成活性の上昇」というべきものであるが、本研究の対象としたA. microcarpaのセスキテルペン生合成の誘導は「高等植物が潜在的に保有している二次代謝活性の顕在化」であり、S. dulcisの場合とは区別すべきものと考えられる。この「潜在的生合成能の顕在化」においても、我々が既に提案した機構と類似する細胞内イベントが関与するか否かを検討するために、様々な情報伝達関連因子阻害剤の存在下でA. microcarpaのカルスにMJ外部刺激を与え、Am-FaPSIの発現変化をRT-PCRによって観察した(Fig. 3)。その結果、Rac/Rop GTPase、Ca<sup>2+</sup>-チャンネ

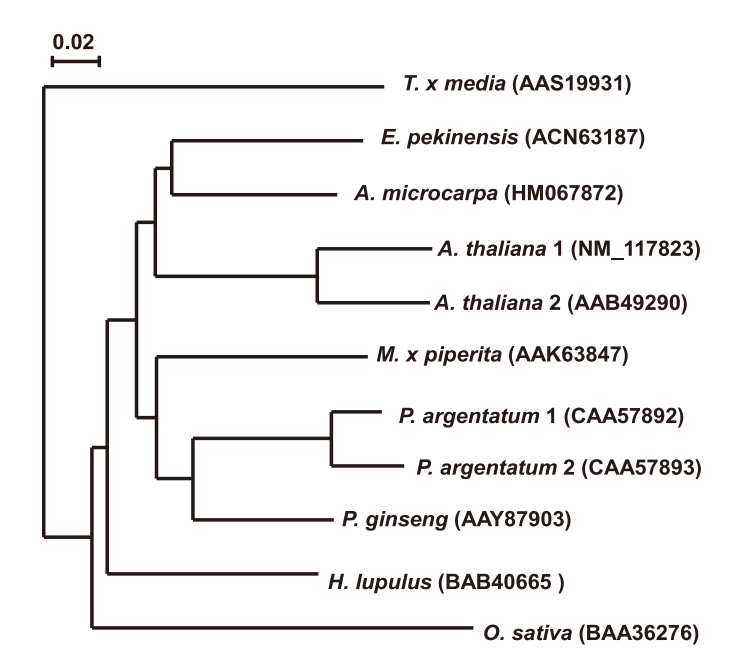


Fig. 1 FaPS アミノ酸配列の系統樹による比較。カッコ内は GenBank accession number を示す。

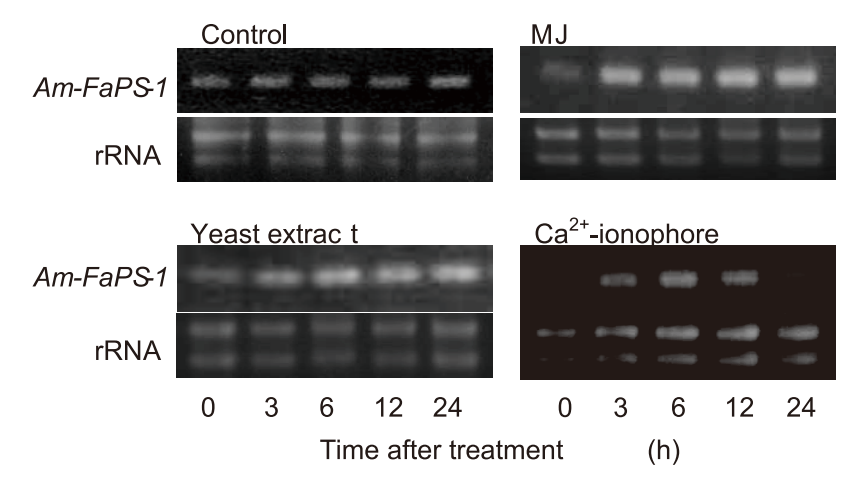


Fig. 2 RT-PCR による *Am-FaPS1* の発現解析。MJ、yeast extract、Ca<sup>2+</sup>-ionophore 処理による発現量の変化。Control は H<sub>2</sub>O による処理。

ル、CAM、ユビキチン-プロテアソームの阻害剤で処理を行なったいずれの場合においても、これらの試薬の濃度に依存して、MJ添加によるAm-FaPS1発現が阻害されることが明らかとなった $^{70}$ 。

#### 3.3 Am-rac のクローニングと諸性質の解析

#### 3.3.1 *Am-rac*のクローニング

MJ刺激に応答した植物細胞の二次代謝物産生に到るシグナル伝達経路の中でRac/Rop型GTPaseが重要な因子として機能している可能性が示唆されたことから、情報伝達にこれをコードする遺伝子をA. microcarpaより単離することを試みた。縮重プライマーによってコア構造を得た後に、3'側および5'側の配列をそれぞれ決定して2つのクローンを単離した。Am-rac1と名づけた遺伝子(GenBank accession no. JF922914)は全長1235塩基であり210 アミノ酸をコードし、210 アミノ酸をコードし、210 アミノ酸をコードしていた。

#### 3.3.2 アミノ酸配列の特徴と比較

Am-rac1及び 2がコードするタンパクと他の植物のRac/Rop Gタンパクのアミノ配列を比較したところ、ほとんどの対象に対して非常に高い相同性を示し、またGタンパクとして機能するために必須とされている 4つのGTP結合部位やエフェクター結合領域も確認された。一般に small GTPase は、原形質膜への移行・局在のためのプレニル化を受けるコンセンサス配列である C-X-X-Lを C 末端に持つとされている。Am-rac 翻訳産物のアミノ酸配列を見ると、Am-rac 2にはプレニル基との結合のためのコンセンサスなモチーフが含まれているのに対し、Am-rac 1にはこれが含まれていないことが明らかとなった。したがってAm-rac 1がコードするタンパクは、他のRac/Rop GTPase とは異なる活性化機構をもつ可能性が示唆された。

#### 3.3.3 RT-PCRによる発現解析

A23187、yeast extract、MJでA. microcarpaを刺激した際のAm-rac遺伝子の発現活性をRT-PCRで確認したところ、A23187では発現に変化がなく、yeast extractの添

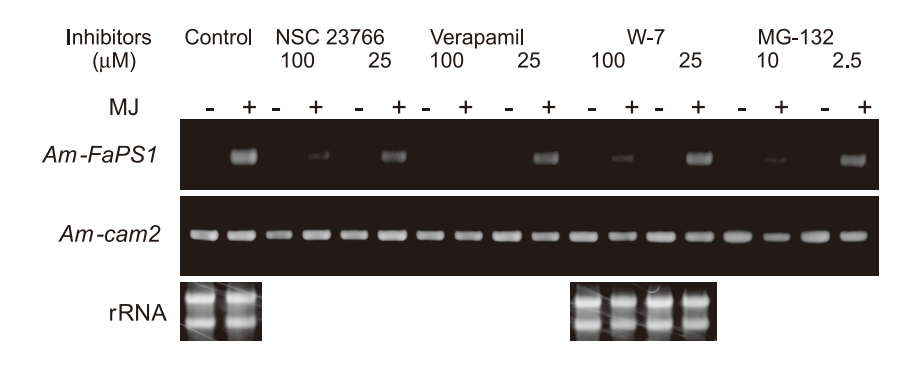


Fig. 3 MJ 誘導性 Am-FaPS1 発現に対する様々な阻害剤の添加効果。NSC 23766 (rac 阻害剤)、verapamil ( $Ca^{2+}$  チャネル阻害剤)、W-7 (CAM 阻害剤)、MG-132 (プロテアソーム阻害剤)の存在下で MJ 刺激を与えた際の Am-FaPS1 の発現変化。

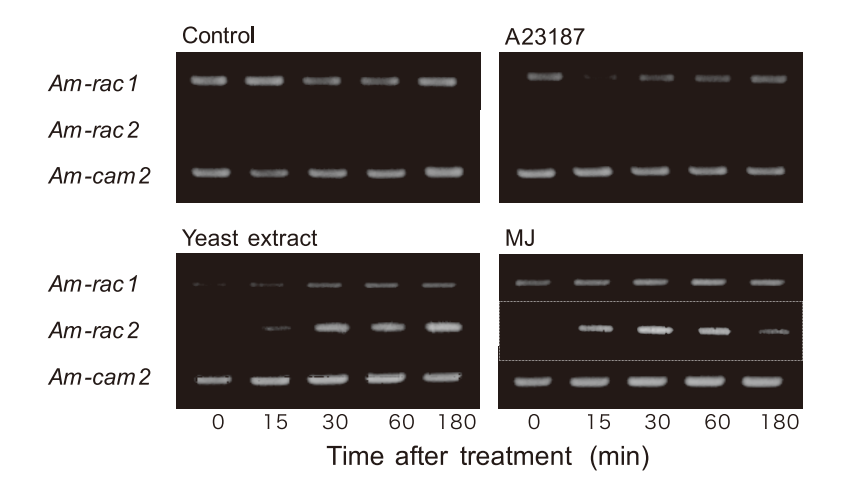


Fig. 4 RT-PCR による *Am-rac1、Am-rac2* の発現解析。 MJ、yeast extract、Ca<sup>2+</sup>-ionophore 処理による発現量の変化。Control は H<sub>2</sub>O による処理。

加においては3時間にわたって発現が緩やかに上昇した。 また、MJ処理の場合は、30-60分で発現レベルが最大と なり、その後低下することが確認された(Fig. 4)。

# 3.4 組換え*A. microcarpa*における*Am-FaPS1*の発 現解析

次に、MJ応答性CAM遺伝子であるAm-cam1、同じく MJ応答性Rac/Rop GTPase遺伝子であるAm-rac2をA. microcarpaで過剰発現させることにより、Am-FaPS1の 発現レベルを高く維持できる可能性を検討した。また、 Rac/Rop GTPaseは1アミノ酸を置換することにより恒常 活性型(CA)、及び、恒常不活性型(DN)のRac/Rop GTPase を作製することが可能であるとされているが、今 回の実験ではCA型とDN型 のRac/Rop GTPaseの導入に よる効果についても検討した (Fig. 5)。その結果、Amcam1を導入した組換え体ではMJ非存在下においても Am-FaPS1 転写活性の顕著な上昇が見られ、CAM 遺伝子 とその翻訳産物がMI刺激によるセスキテルペン生合成誘 導のシグナル伝達のなかで大きく寄与していることが示唆 された。また、Am-rac2を過剰発現させた組換え体では controlと比べてAm-FaPS1の転写活性の上昇は見られた ものの、CAMの組換え体ほど顕著な活性化は観察されな かった。更に、CArac2を導入した組換え体においても、 変異を導入していないAm-rac2と比較して大きな差は認め られなかった。また、DNrac2組換え体ではAm-FaPS1転 写活性がやや抑制されることが見出された

#### 4. 考察

沈香の基源植物の一つであるA. microcarpaのセスキテ ルペン生合成に寄与するFaPSをコードした遺伝子Am-FaPS1をクローニングし、外部刺激に対する発現応答を RT-PCRによって検討した。その結果、MJで刺激するこ とによりAm-FaPS1の強い転写活性の誘導・上昇が見ら れ、セスキテルペン生合成の活性化が強く示唆された(Fig. 2)。また、植物の防御応答に関わる二次代謝産物の生合成 を誘導することが知られている yeast extract で処理した 場合も同様にAm-FaPS1の発現が顕著に上昇することが 明らかとなった。MJのシグナル伝達に関わっている因子 について更なる知見を得るために、以前の研究で関与が示 唆された様々な情報伝達関連因子の阻害剤を用いて、MI 刺激に対するAm-FaPS1の発現量の変化を観察した。そ の結果、ユビキチン-プロテアソーム、Rac/Rop GTPase、 Ca<sup>2+</sup>-チャンネル、CAMの阻害剤を用いたいずれの実験系 においてもAm-FaPS1の発現量はcontrolと比べて用量依 存的に減少していた (Fig. 3)。これらのことから、MJの 細胞内シグナル伝達には上記の諸因子が関与しており、 Am-FaPS1の転写活性の活性化にはユビキチン-プロテ アソームとRac/Rop GTPaseが関与するCa<sup>2+</sup>の細胞内流 入、更にはCAMの活性化が不可欠であることが示唆され た。

植物二次代謝能の誘導あるいは活性化におけるこれらの 因子を物質生産に応用することを目的として、Am-cam 1

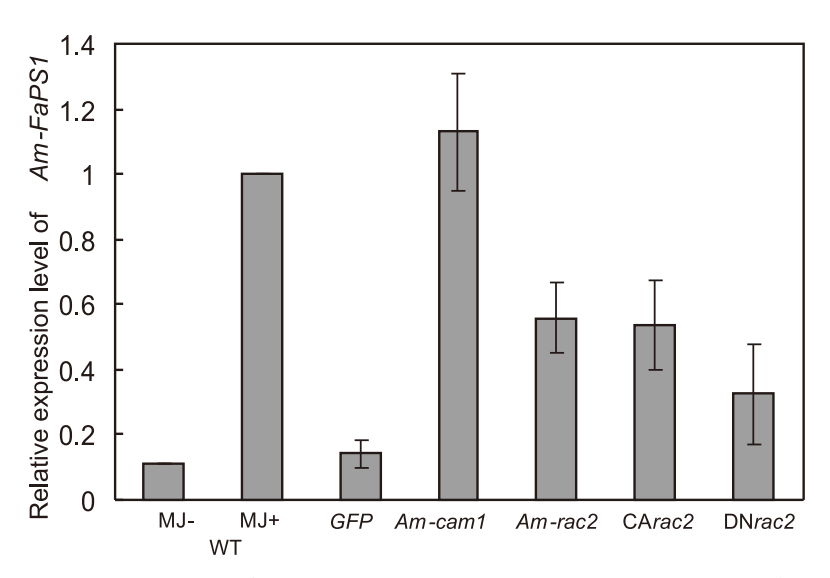


Fig. 5 4 つの組換え体につき、それぞれ *Am-FaPS1* の発現量の平均値と標準偏差を求め、MJ (+) を 1.0 とした相対値で表した。

遺伝子、Am-rac 2遺伝子、CArac2、DNrac 2遺伝子をA. microcarpaのカルスに組み込み、Am-FaPS1の発現の変化をRT-PCRにより解析した(Fig. 5)。その結果、Am-FaPS1の発現量はAm-cam1を導入・過剰発現させたmutantで最も大きくなり、MJ刺激を与えた場合と同等あるいはそれ以上の転写活性の上昇が認められた。一方、Am-rac 2、CArac 2の mutantsではMJ(-)と比べて発現量は上昇しているもののMJ(+)やCAM遺伝子を導入したものほどではないことが認められた。これより、MJによるシグナル伝達経路にはRac/Rop GTPase 関与の機構以外にも複数の経路が存在し、これら別の転写制御機構とRac/Rop GTPase 系とが複雑に相互作用してAm-rac 導入変異体でのAm-FaPS1 の発現に影響を与えた可能性が考えられる。

#### (引用文献)

- 1) Shan X, Yan J, Xie D,:Comparison of phytohormone signaling mechanisms, Curr. Opin. Plant Biol., 15, 84-91, 2012.
- Gundlach H, Muller MJ, Kutchan TM, Zenk MH,: Jasmonic acid is a signal transducer in elicitor-induced plant cell cultures, Pro. Nat. Acad. Sci. USA, 89, 2389-2393, 1992.

- 3) Creelman RA, Mullet ME,: Biosynthesis and action of jasmonates in plants, Ann. Rev. Plant Physiol. Plant Mol. Biol., 48, 355-381, 1997.
- 4) Asano K, Lee JB, Yamamura Y, Kurosaki F,: Enhanced accumulation of atropine in *Atropa belladonna* transformed by Rac GTPase gene isolated from *Scoparia dulcis*, Transgenic Res., DOI. 10.1007/s11248-013-9733-4.
- 5) Okudera Y, Ito M.: Production of agarwood fragrant constituents in *Aquilaria* calli and suspension cultures, Plant Biotechnol., 26, 307-315, 2009.
- 6) Kenmotsu Y, Ogita S, Katoh Y, Yamamura Y, Takao Y, Tatsuo Y, Fujino H, Kadota S, Kurosaki F,: Methyl jasmonate-induced enhancement of expression activity of *Am-FaPS-1*, a putative farnesyl diphosphate synthase gene from *Aquilaria microcarpa*, J. Nat. Med., 65, 194-197, 2011.
- 7) Kenmotsu Y, Asano K, Yamamura Y, Kurosaki F; Cloning and expression of putative Rac/Rop GTPase genes, *Am-rac1* and *Am-rac2*, involved in methyl jasmonate-induced transcriptional activation of farnesyl diphosphate synthase in cell cultures of *Aquilaria microcarpa*, Plant Mol. Biol. Rep., 31, 539-546, 2013.